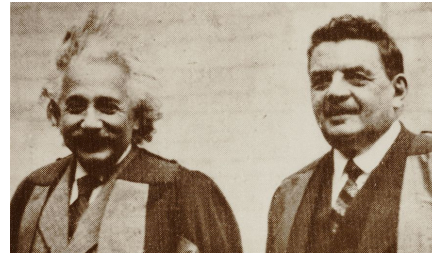
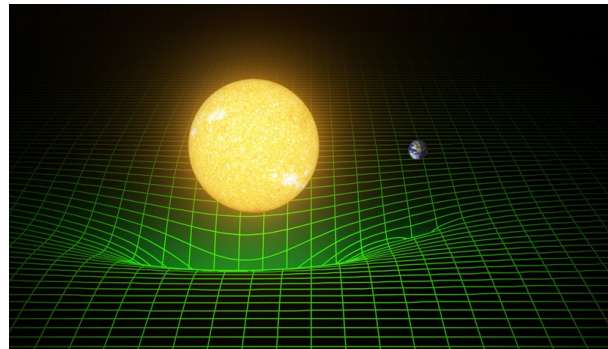


Résultats marquants des trois premières périodes d'observation de LIGO-Virgo

Eric Chassande-Mottin

AstroParticule et Cosmologie (APC)
CNRS Université Paris Cité





1915

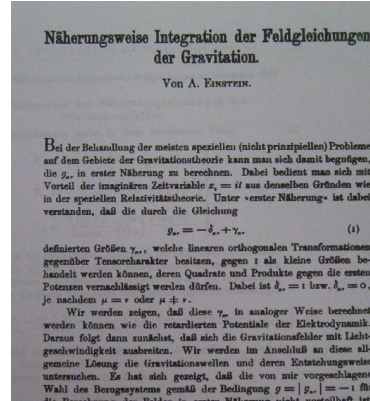


Edouard Herriot

L'espace-temps est dynamique et déformable
La gravité provient de la courbure de l'espace-temps

$$G_{\mu\nu} = \frac{8\pi G}{c^4} T_{\mu\nu}$$

géométrie
(métrique)
matière
énergie



$$G_{\mu\nu} = \frac{8\pi G}{c^4} T_{\mu\nu}$$

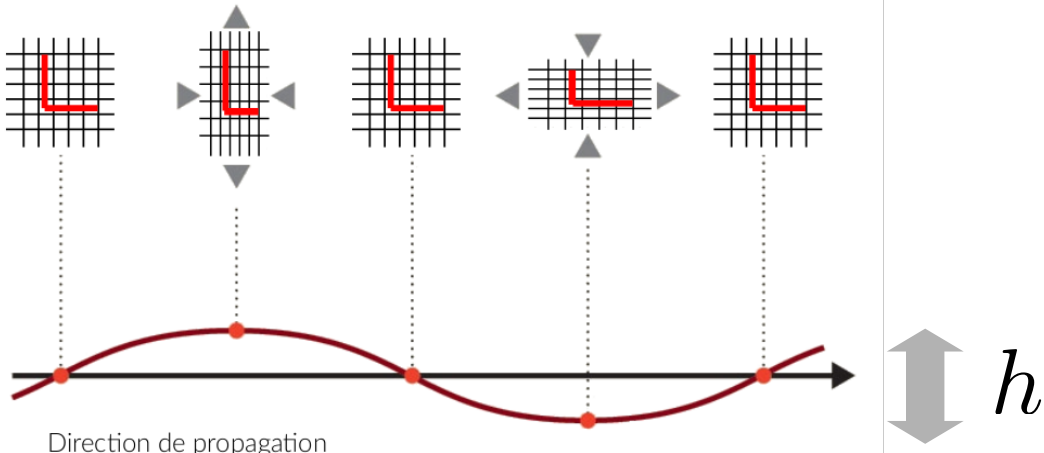


$$\square \bar{h}_{ab} = 0$$

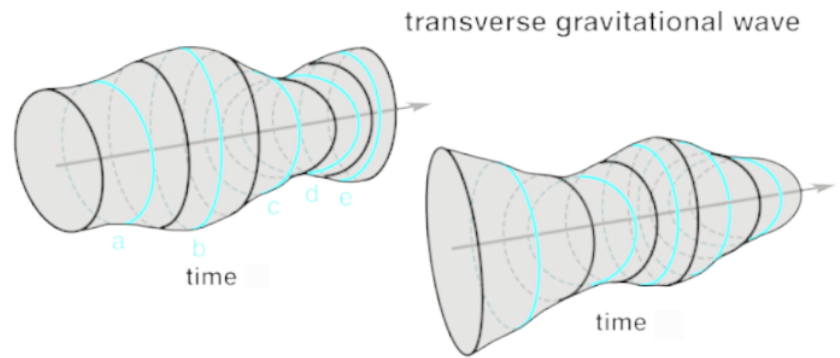
équation d'onde

Petite perturbation
de la métrique

$$g_{ab} = \eta_{ab} + h_{ab}$$



onde transverse – 2 polarisations

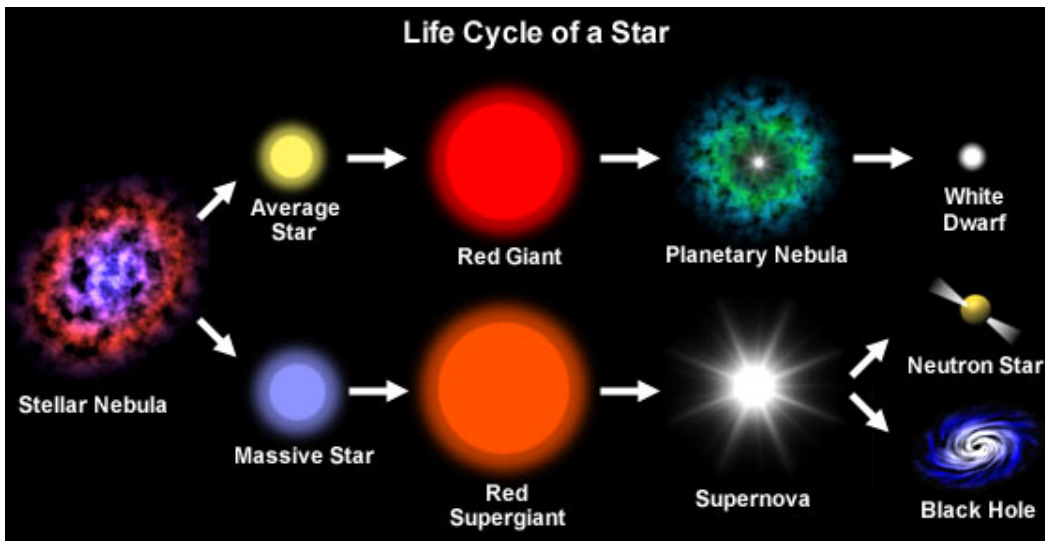


charges accélérées → ondes électromagnétiques

masses accélérées → ondes gravitationnelles

- Pas émission pour les objets sphériques
- Requiert un certain degré de non-axisymétrie

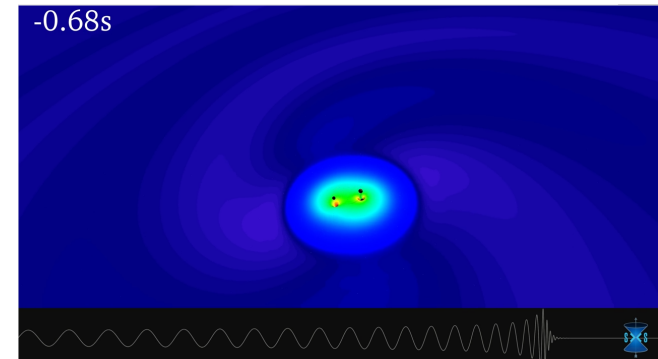
Grandes masses, vitesses relativistes → **Objets astrophysiques compacts**



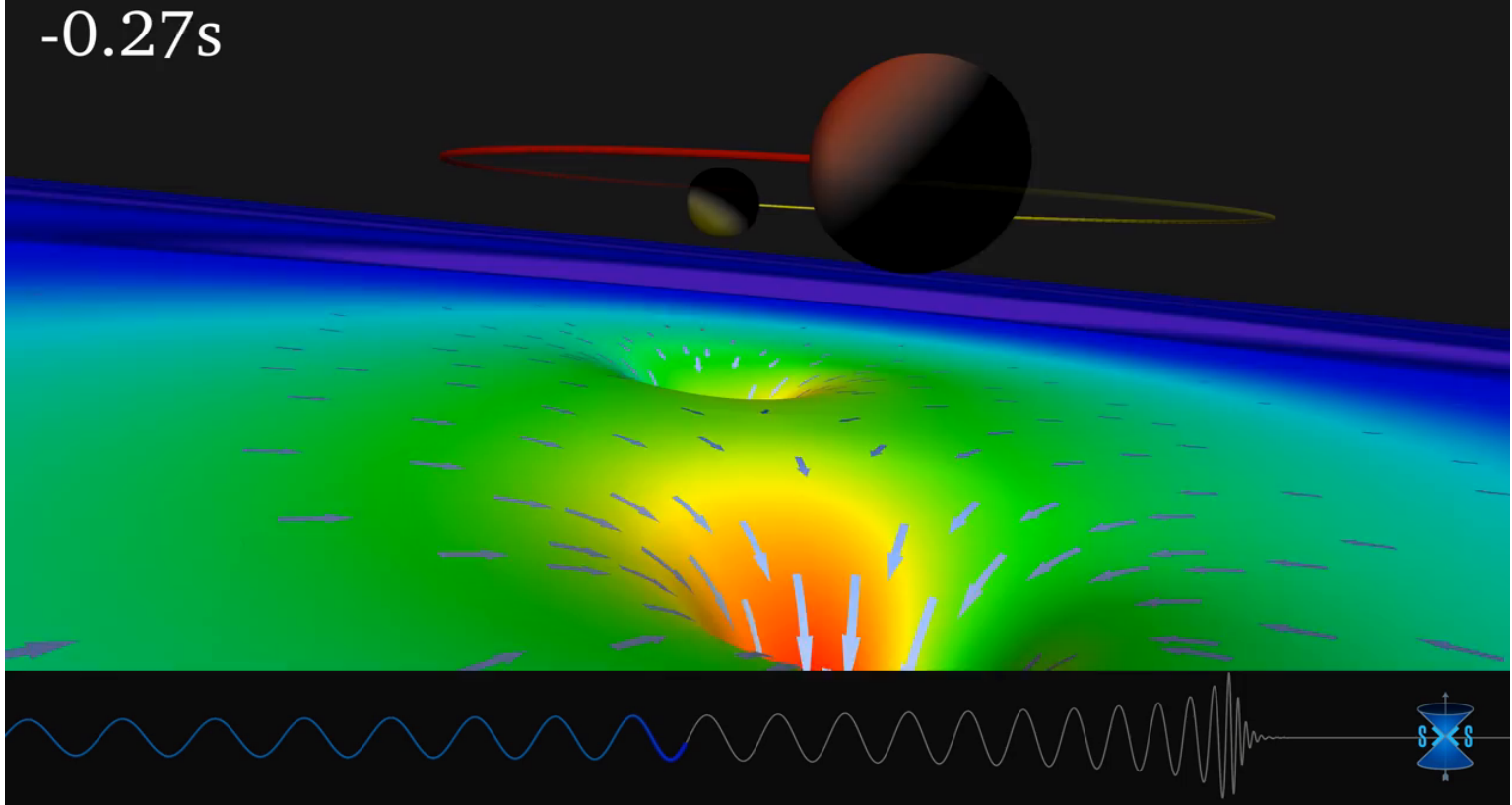
Naines blanches

Etoiles à neutrons

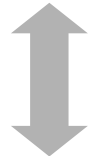
Trous noirs
G à Lyon



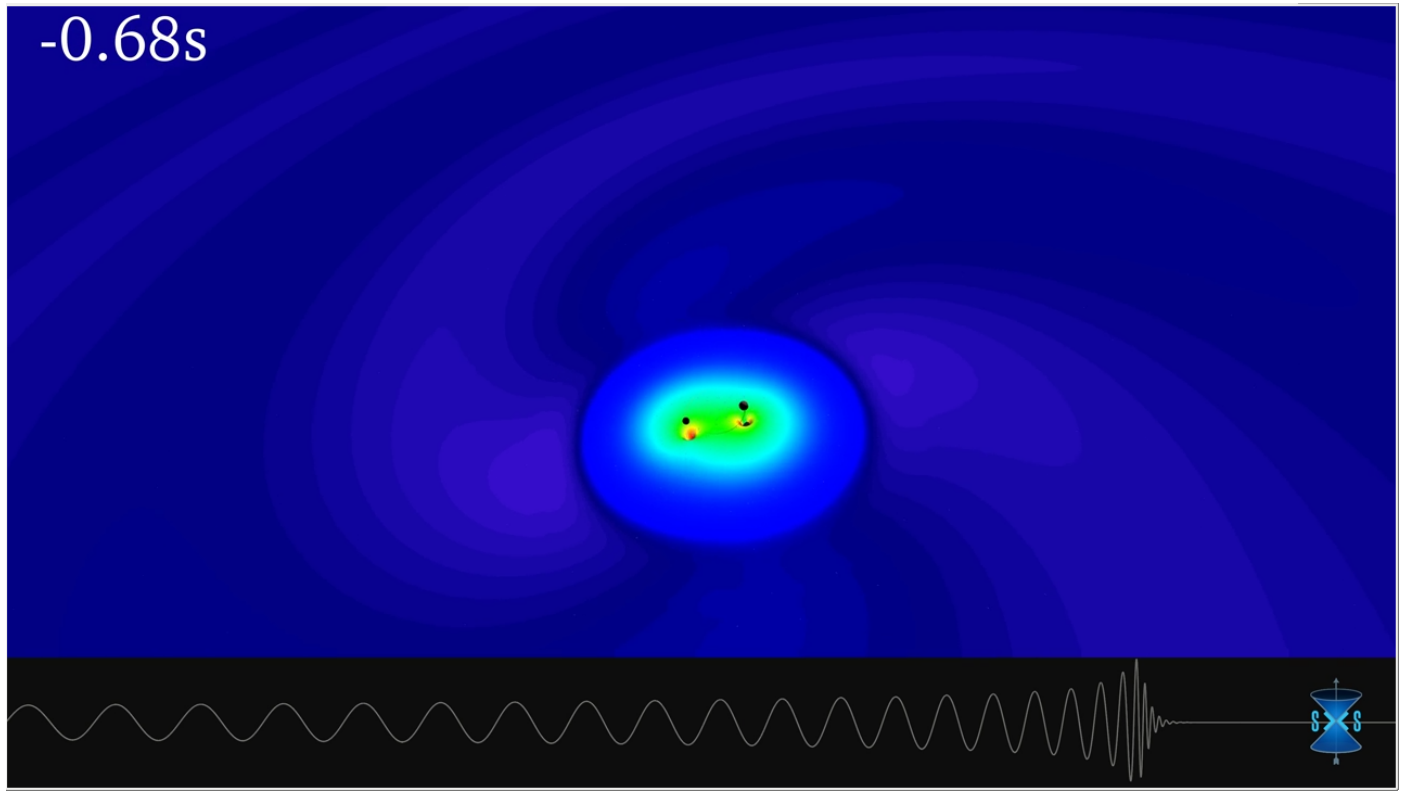
-0.27s



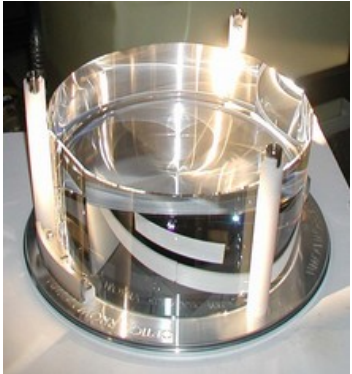
$$h_{\text{typ}} \sim 10^{-21}$$



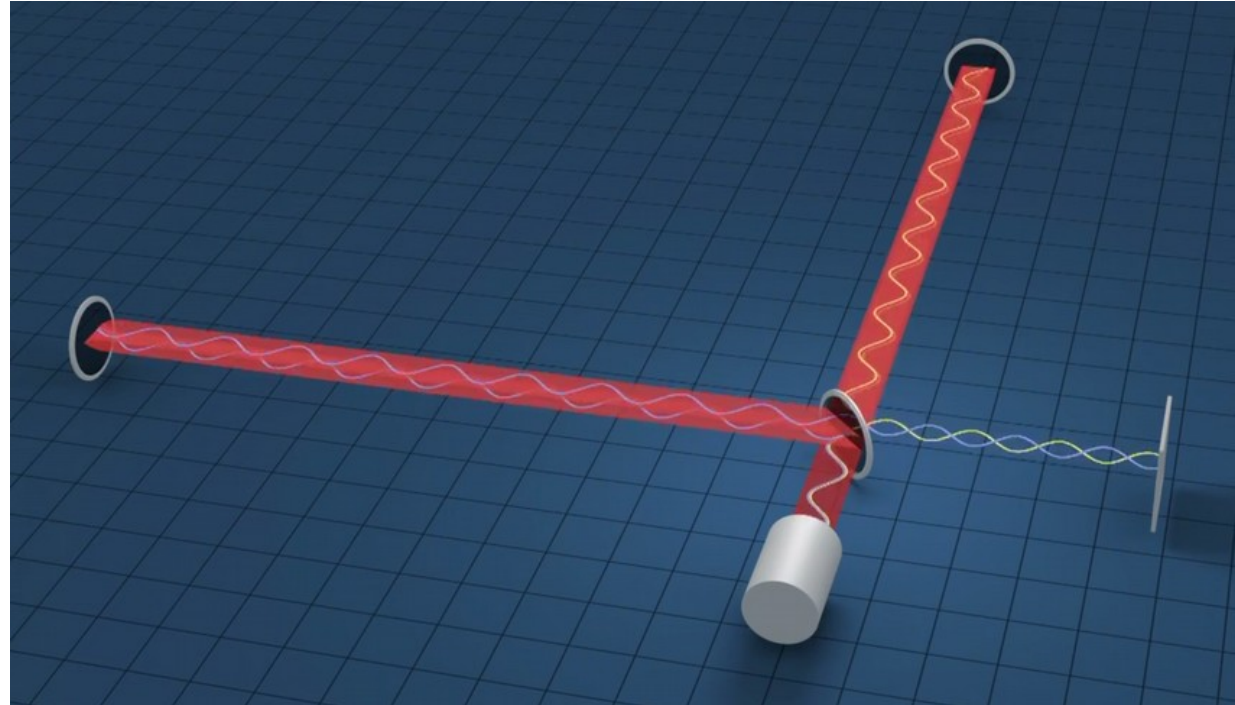
-0.68s



Principe de détection : Interféromètre de Michelson



Cf Laurent Pinard





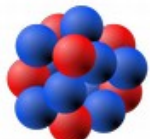
LIGO (US)



Virgo (Italy)

$$h = \frac{\delta\ell}{L} \sim 10^{-21}$$

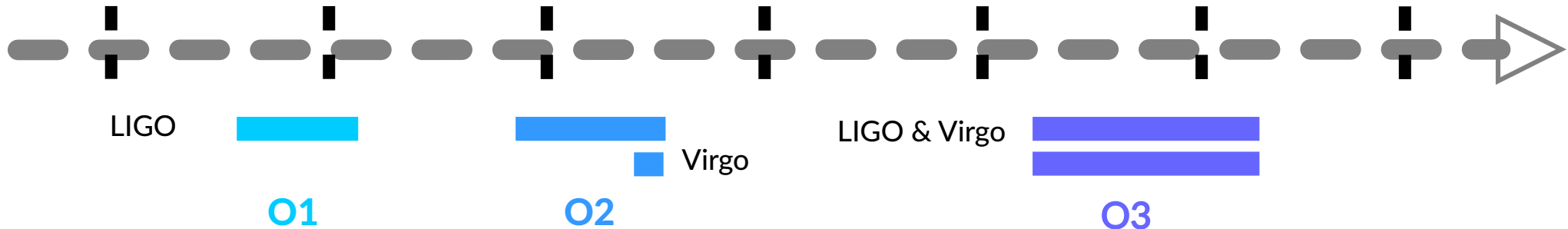
$$\delta\ell \sim 10^{-18}m$$
$$L = O(1)\text{km}$$



Radius of atomic nuclei $10^{-15}m$ ($\times 1000$)



2015 2016 2017 2018 2019 2020 2021





LIGO Hanford H1

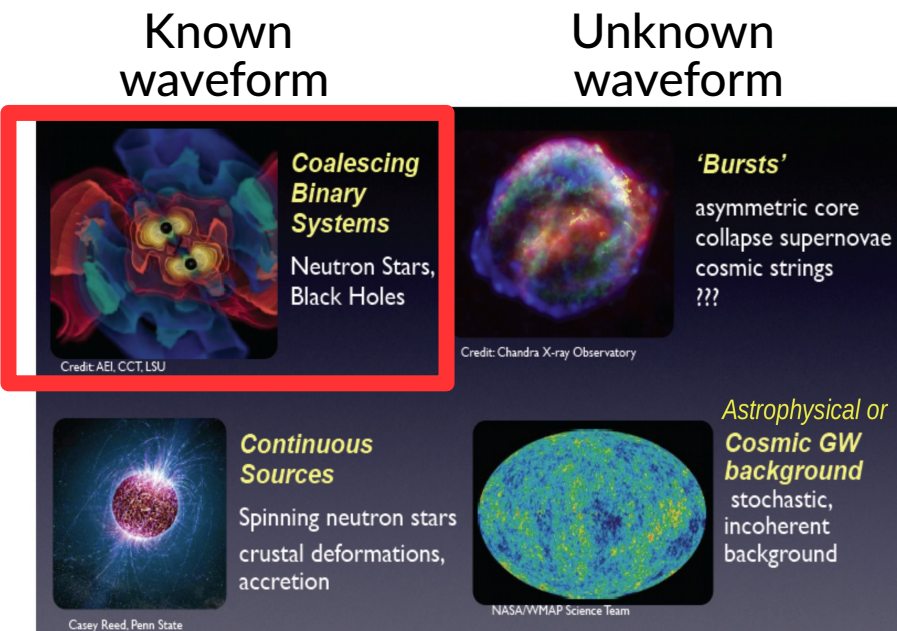


LIGO Livingston L1



Virgo V1

Transient
Short duration



Permanent
Long duration

Core science

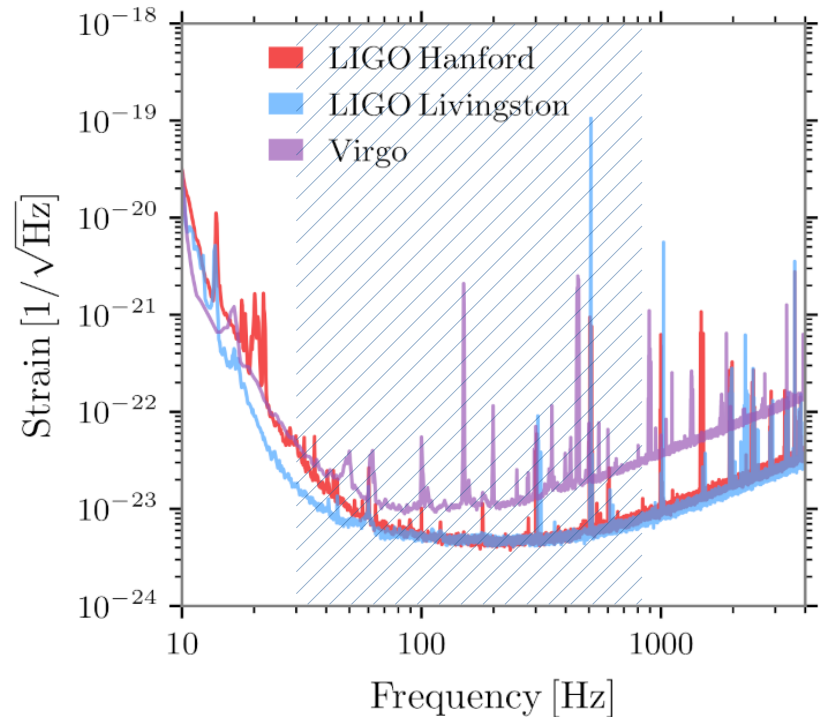
Compact stars
(neutron stars or
black holes)

Fundamental
physics
(test of GR)

Cosmology



Sensitivities during O3
2019-2020



24 nov 2022

Distance range to
binary neutron stars
(averaged over sky position and inclination)

L1: 135 Mpc

H1: 115 Mpc

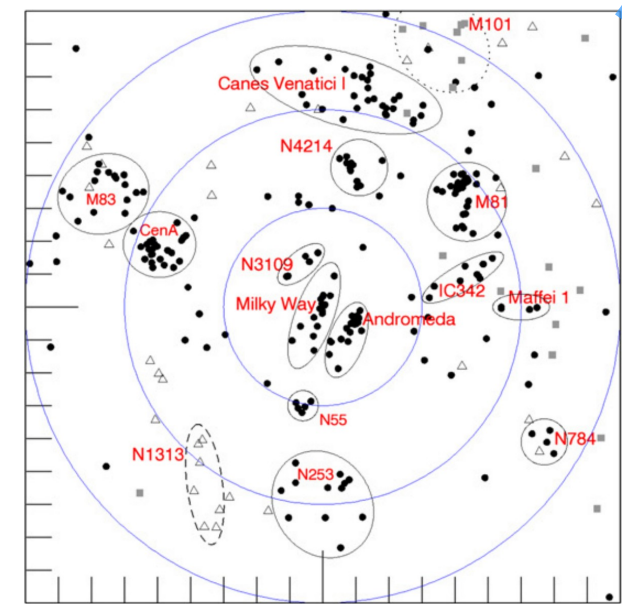
V1: 50 Mpc

Distance reach for **binary black hole** mergers
extends **much further away**.

1 parsec = 3.26 ly
= 31×10^{12} km

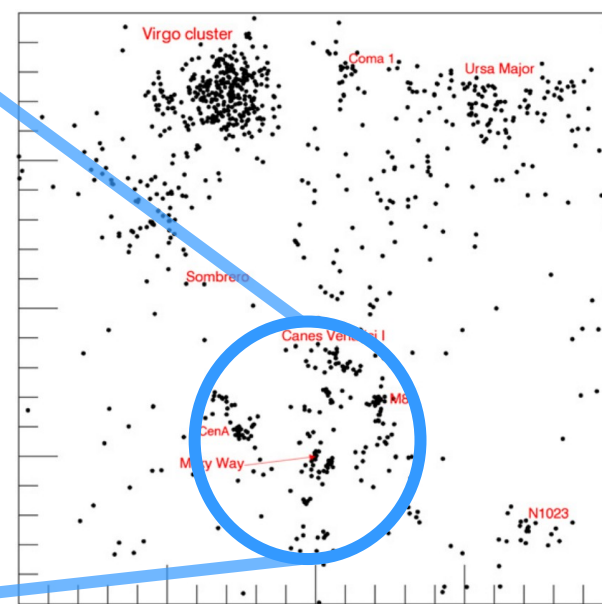
How far is this?

Local group



~12 Mpc
~ 10 galaxies

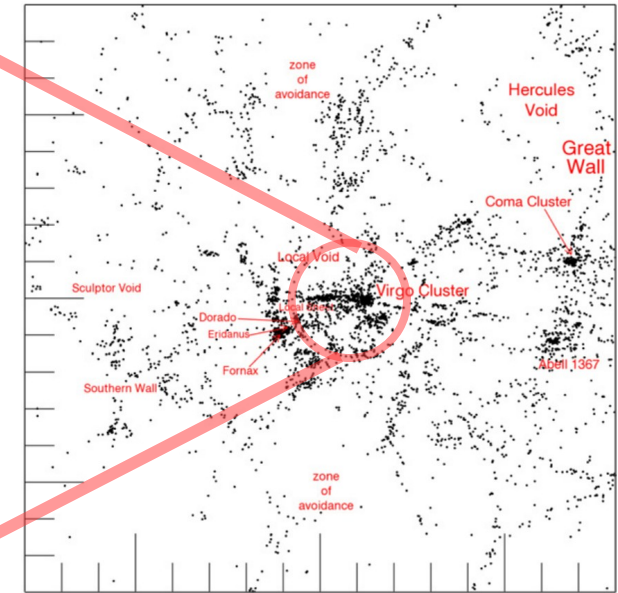
To Virgo cluster



~27 Mpc
~ 100 galaxies

30 ans d'OG à Lyon

Laniakea Supercluster



~215 Mpc
~ 50 000 galaxies

24 nov 2022



From Courtois et al, ApJ 146 3 2013



LIGO Hanford H1



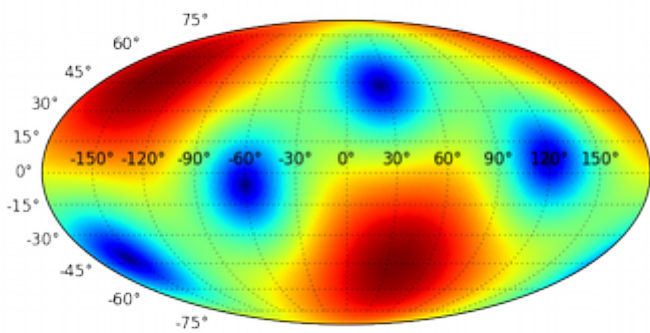
LIGO Livingston L1



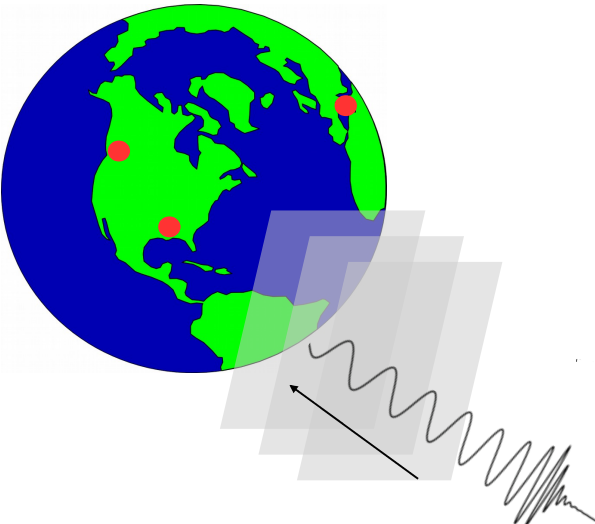
Virgo V1

~3000 km
(10 light-ms)

~10000 km
(30 light-ms)



Quasi-omnidirectionel
(pas de pointage)



30 ans d'OG à Lyon

Localisation de la source
10–100 deg²

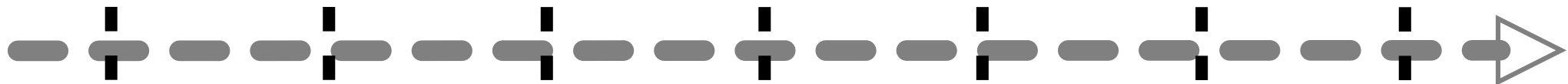
Par comparaison :



0.2 deg²



2015 2016 2017 2018 2019 2020 2021



LIGO



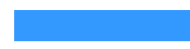
O1

BNS range

80 Mpc

Time x
volume
 $\sim (\text{range})^3$

1



O2

100 Mpc

x 5

LIGO & Virgo

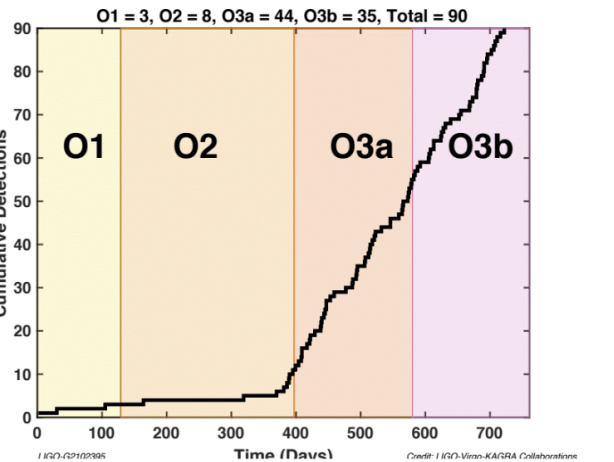


O3

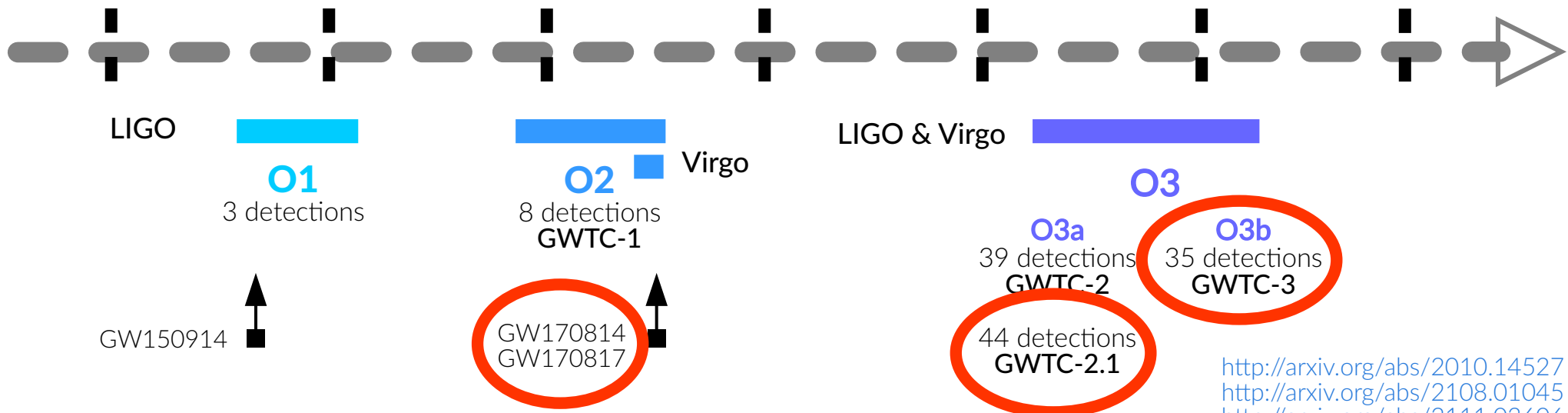
135 Mpc

x 20

Virgo



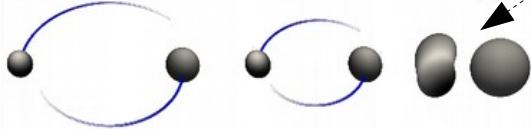
2015 2016 2017 2018 2019 2020 2021



Aug 14 2017

Signature caractéristique de la fusion de deux trous noirs

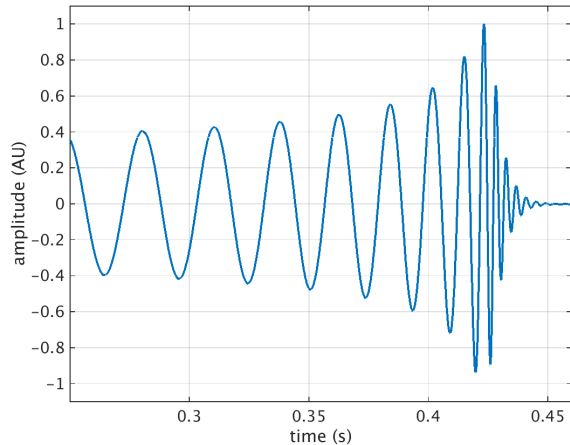
spirale



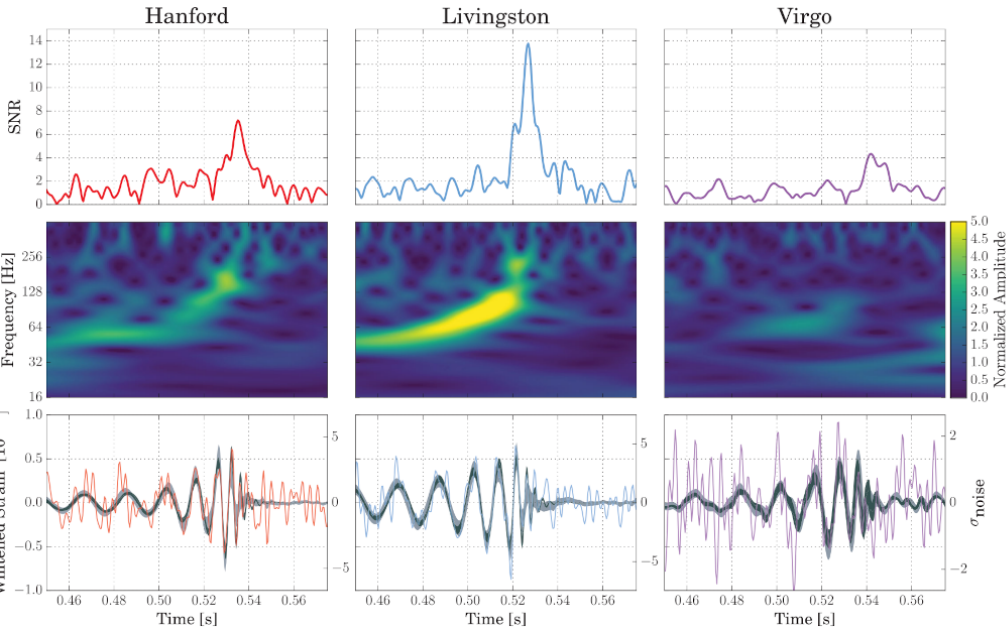
fusion



désexcitation



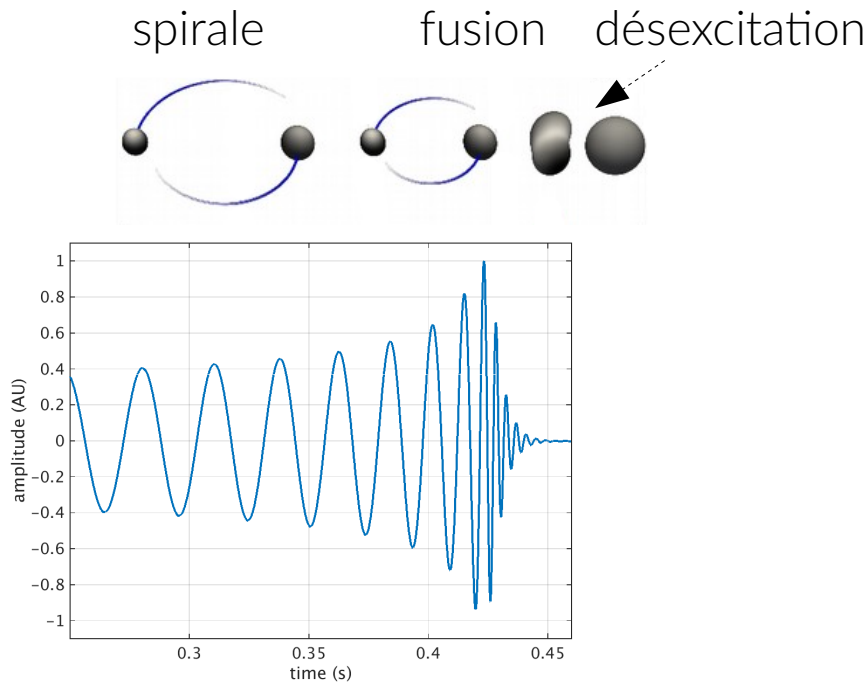
GW170814



Are polarization states **pure tensor**?

Aug 14 2017

Signature caractéristique de la fusion de deux trous noirs



GW170814

15 paramètres

(masses, spins, et géométrie : position + orientation)

$$m_1 = 30.5_{+5.7}^{-3.0} M_\odot$$

$$m_2 = 25.3_{+2.8}^{-4.2} M_\odot$$

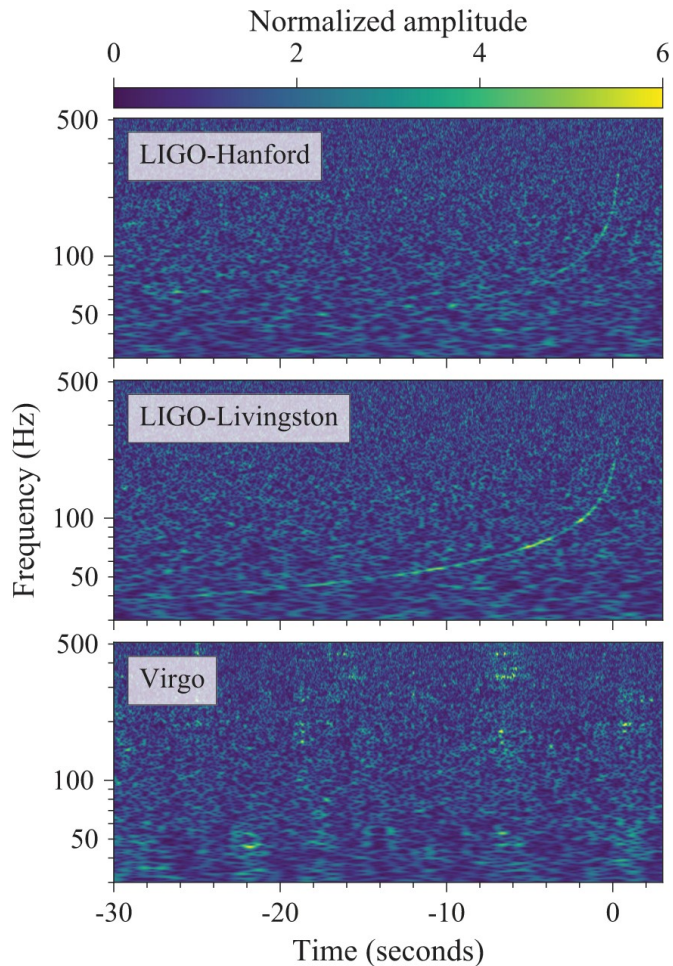
$$D_L = 540_{+130}^{-210} \text{ Mpc}$$

soit 1.8 milliard d'années lumière

} avec la phase

} avec l'amplitude

Aug 17, 2017



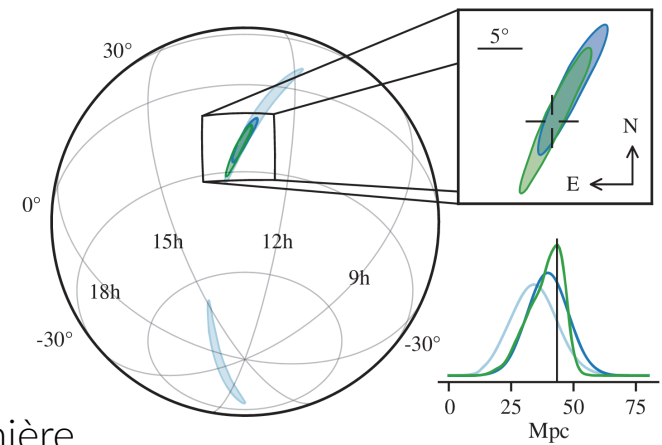
GW170817

$$m_1 = 1.46^{+0.12}_{-0.10} M_{\odot}$$

$$m_2 = 1.27^{+0.09}_{-0.09} M_{\odot}$$

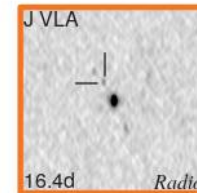
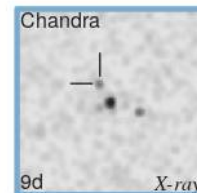
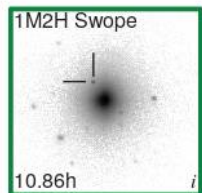
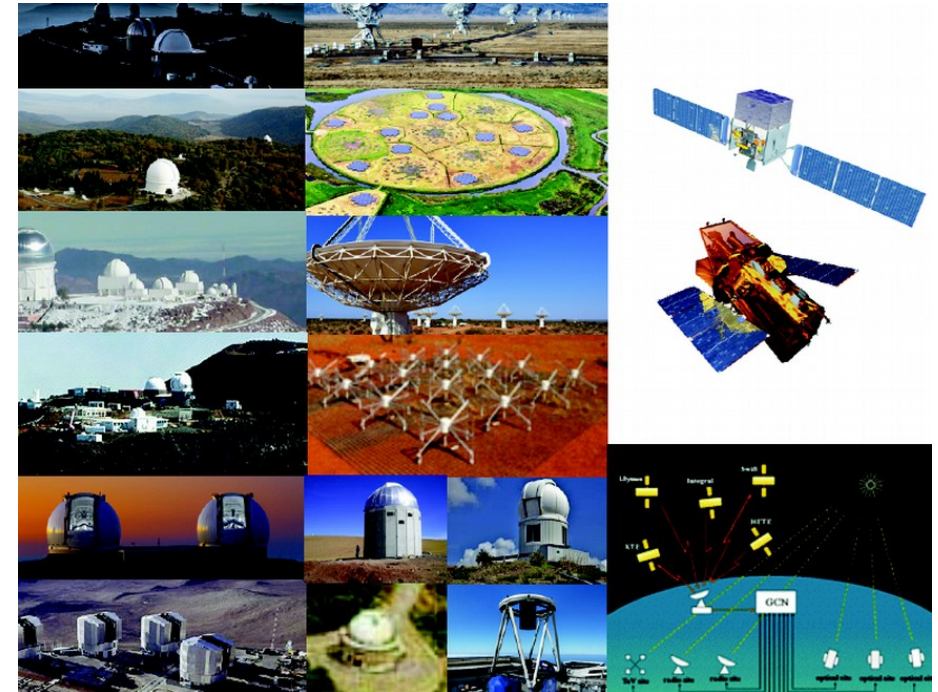
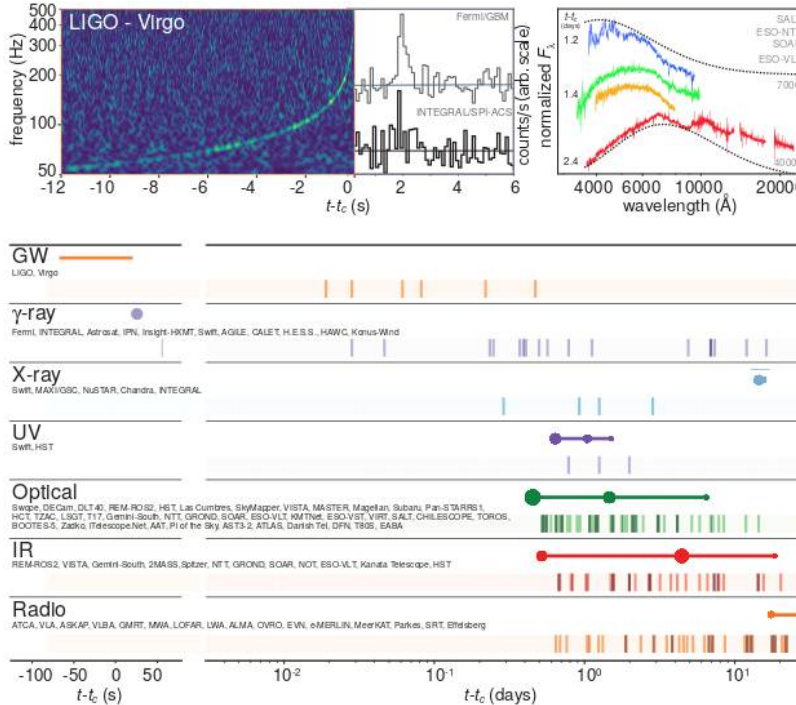
$$D_L = 40^{+7}_{-15} \text{ Mpc}$$

soit 130 millions d'années lumière



30 ans d'OG à Lyon

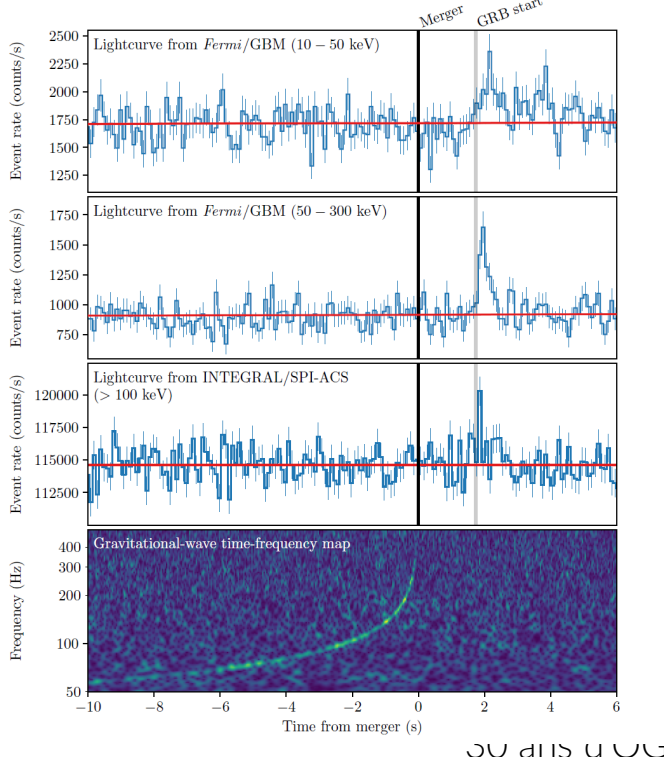
GW170817 : Astrophysique multimessager !



30 ans d'OG à Lyon

Gamma-rays

T0+1.7 s

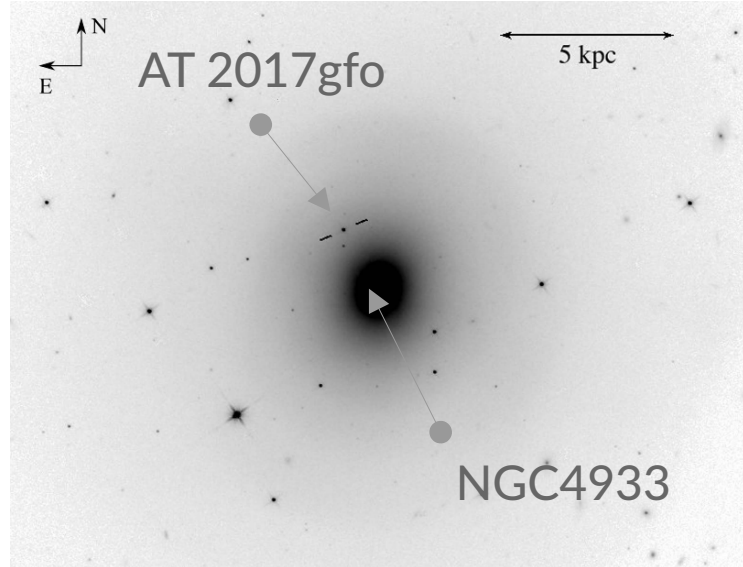


Association with gamma-ray bursts
Jet of relativistic plasma?

Speed of gravity: $|c/c_g - 1| < 5 \times 10^{-16}$
alt. gravity scalar-tensor theories

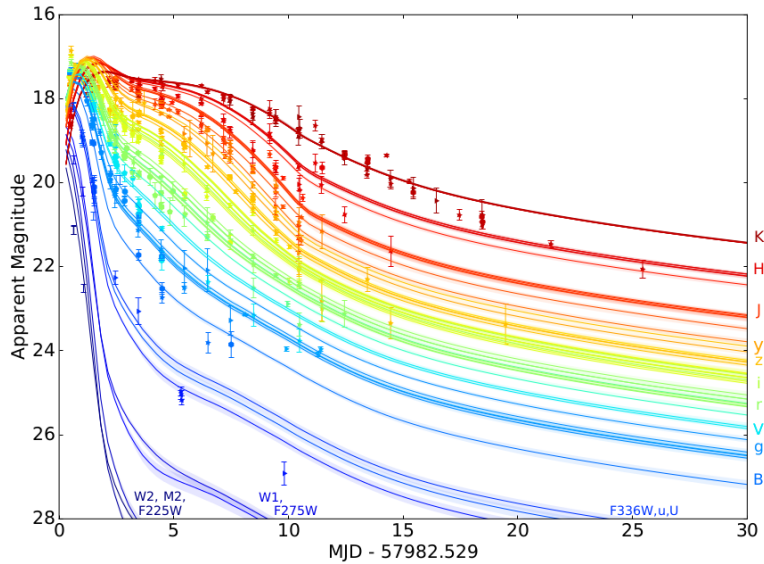
	$c_g = c$	$c_g \neq c$
Hornedski	General Relativity quintessence/k-essence [42] Brans-Dicke/ $f(R)$ [43, 44] Kinetic Gravity Braiding [46]	quartic/quintic Galileons [13, 14] Fab Four [15, 16] de Sitter Horndeski [45] $G_{\mu\nu}\phi^\mu\phi^\nu$ [47], Gauss-Bonnet
beyond H.	Derivative Conformal (20) [18] Disformal Tuning (22) DHOST with $A_1 = 0$	quartic/quintic GLPV [19] DHOST [20, 48] with $A_1 \neq 0$
	Viable after GW170817	Non-viable after GW170817

Near infrared, visible and UV



HST/WFC3-IR F110W $t_c + 4.79d$

T0+~1d “Kilonova” – Thermal optical transient fed by the radioactive decay of unstable nuclei formed by rapid neutron capture



V. Ashley Villar et al, arXiv:1710.11576

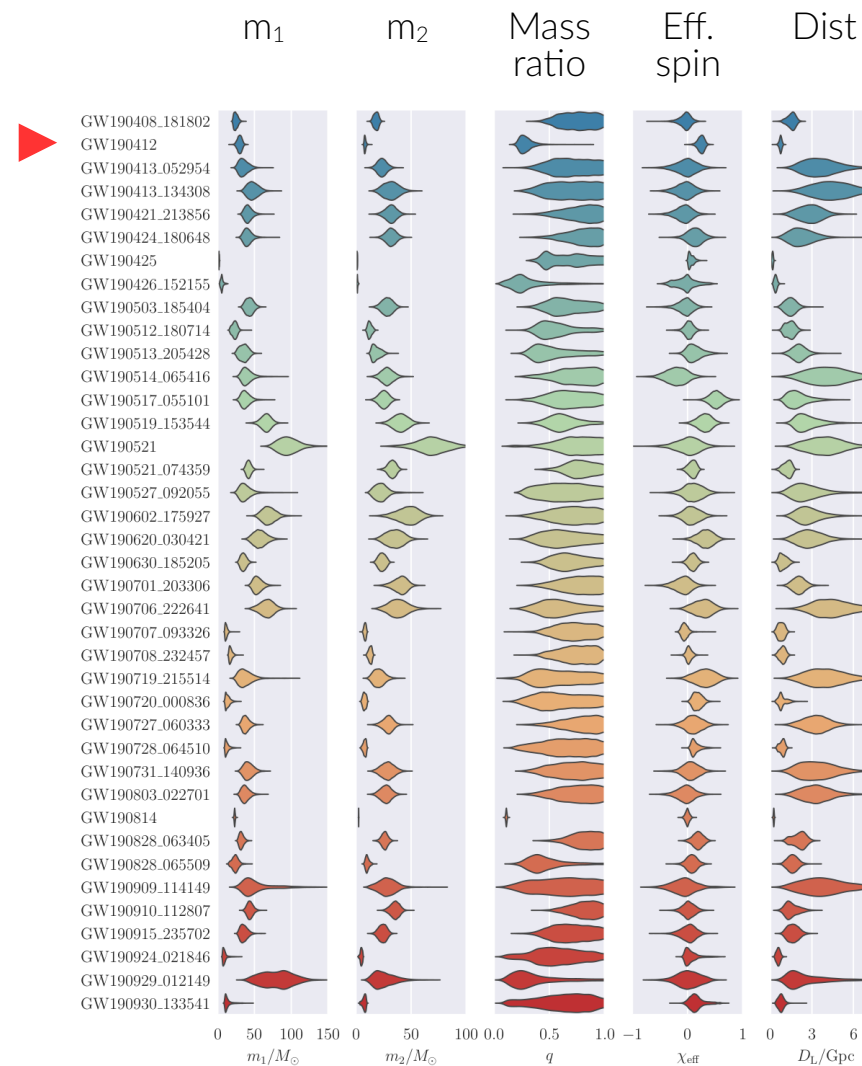
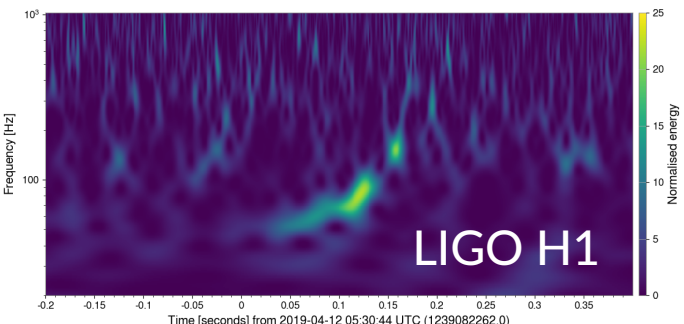
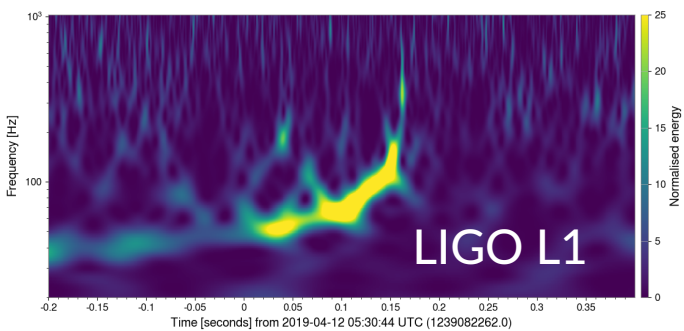
30 ans d'OG à Lyon

24 nov 2022

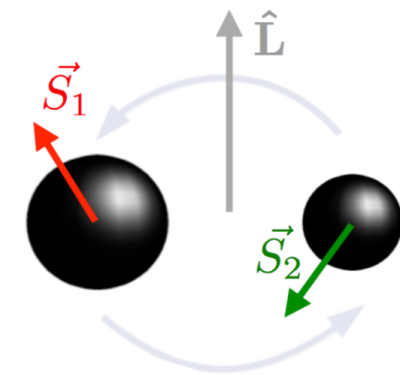
What did we detect?

90 confident detections

A large population of “heavy”
binary black holes, so far
unobserved



GWTC 2 & 3



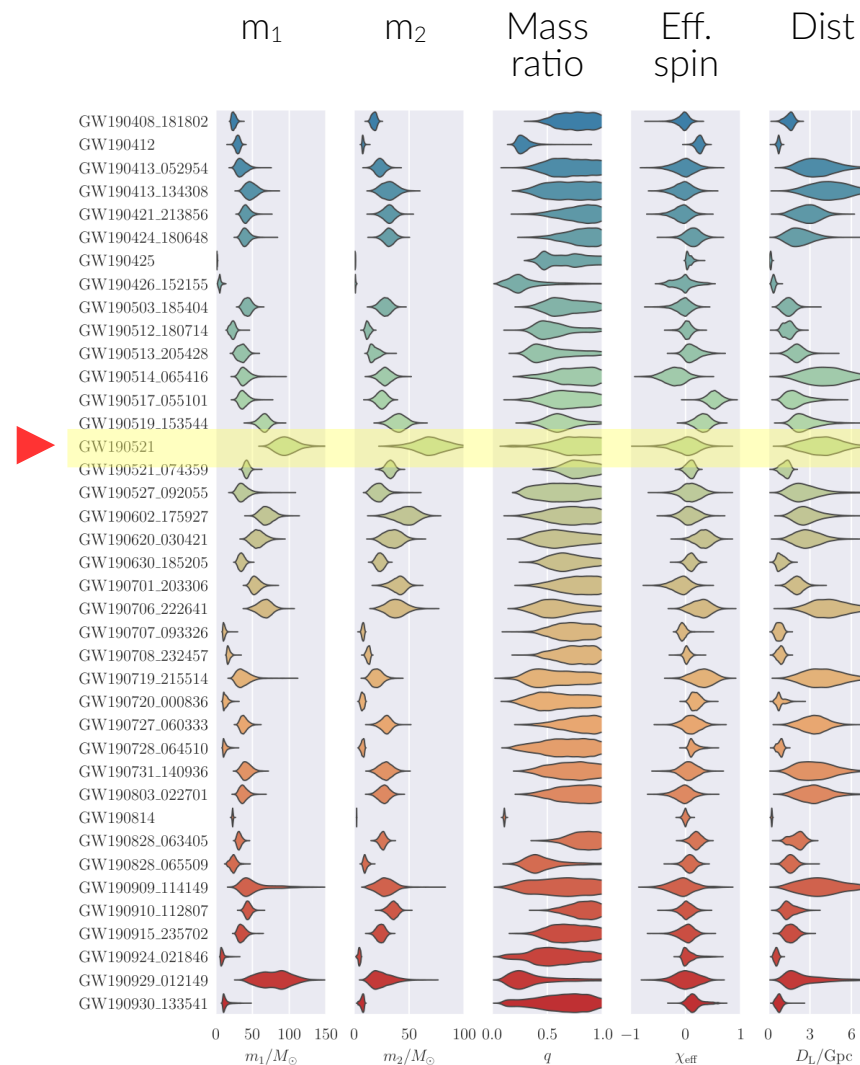
What did we detect?

A large population of “heavy”
binary black holes, so far
unobserved

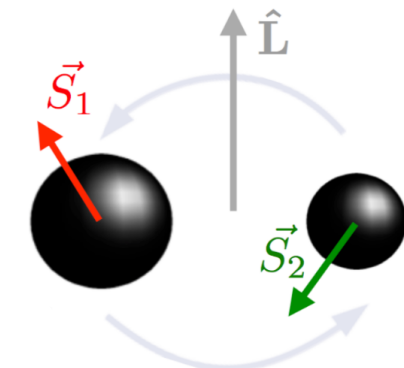
$$m_1 = 71\text{--}106 M_{\odot}$$
$$m_2 = 49\text{--}84 M_{\odot}$$

Incompatible with the current
understanding of black hole
formation from massive stars

Expect high mass gap $\sim(65\text{--}135 M_{\odot})$
from pulsational pair instability



GWTC 2

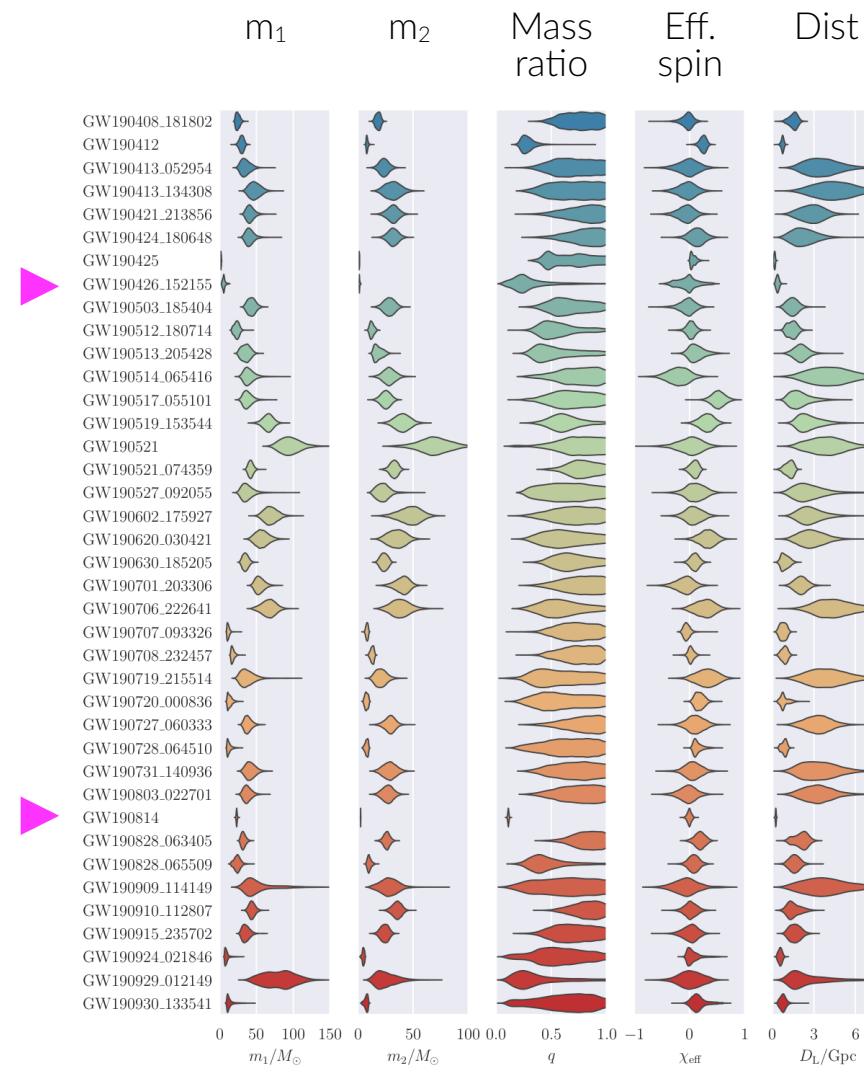


What did we detect?

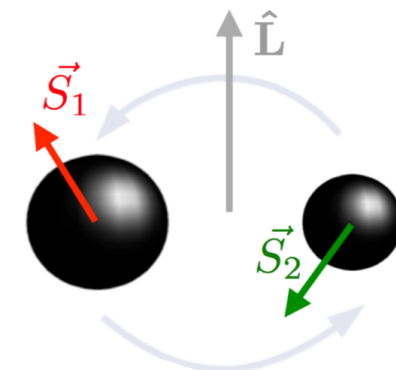
Other types of binary systems

- Binary neutron stars
- Possible mixed black hole and neutron star binaries

Black holes from stellar core collapses are expected to be $> 3 M_{\text{sun}}$



GWTC 2

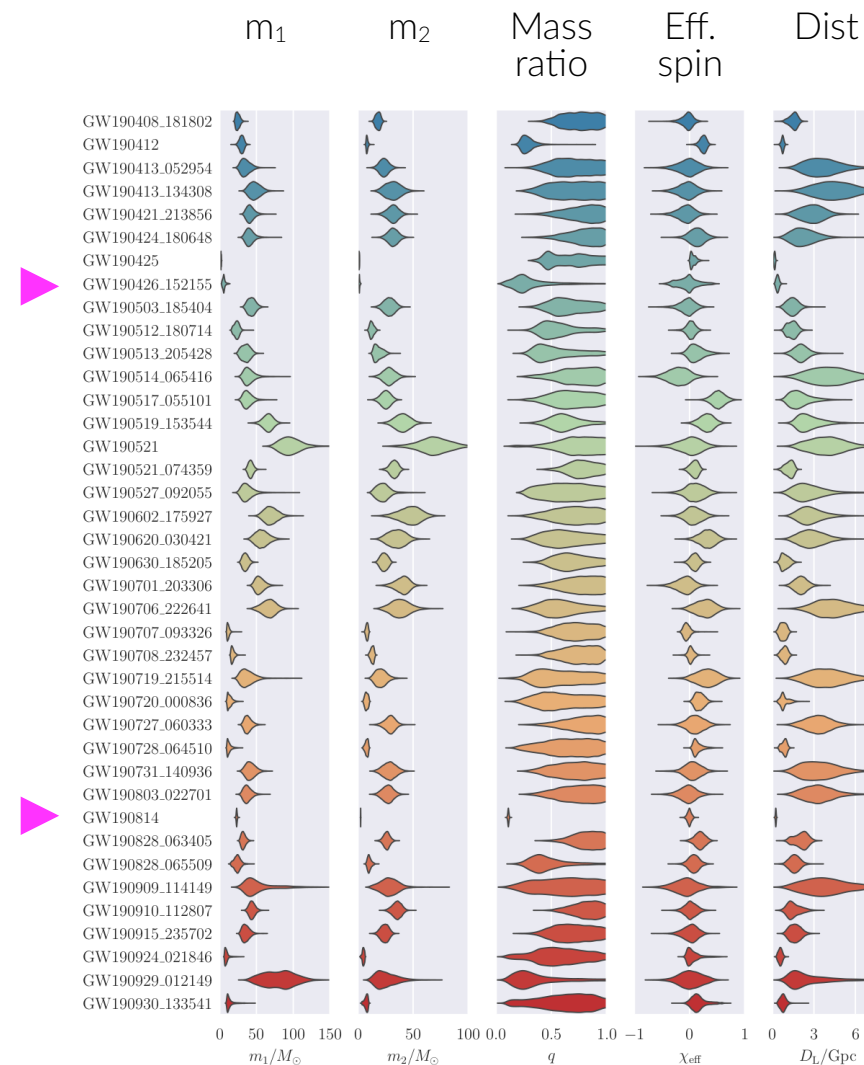


What did we detect?

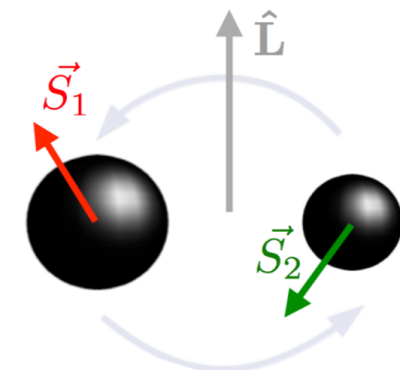
Other types of binary systems

- Binary neutron stars
- Possible mixed black hole and neutron star binaries

Black holes from stellar core collapses are expected to be $> 3 M_{\text{sun}}$



GWTC 2

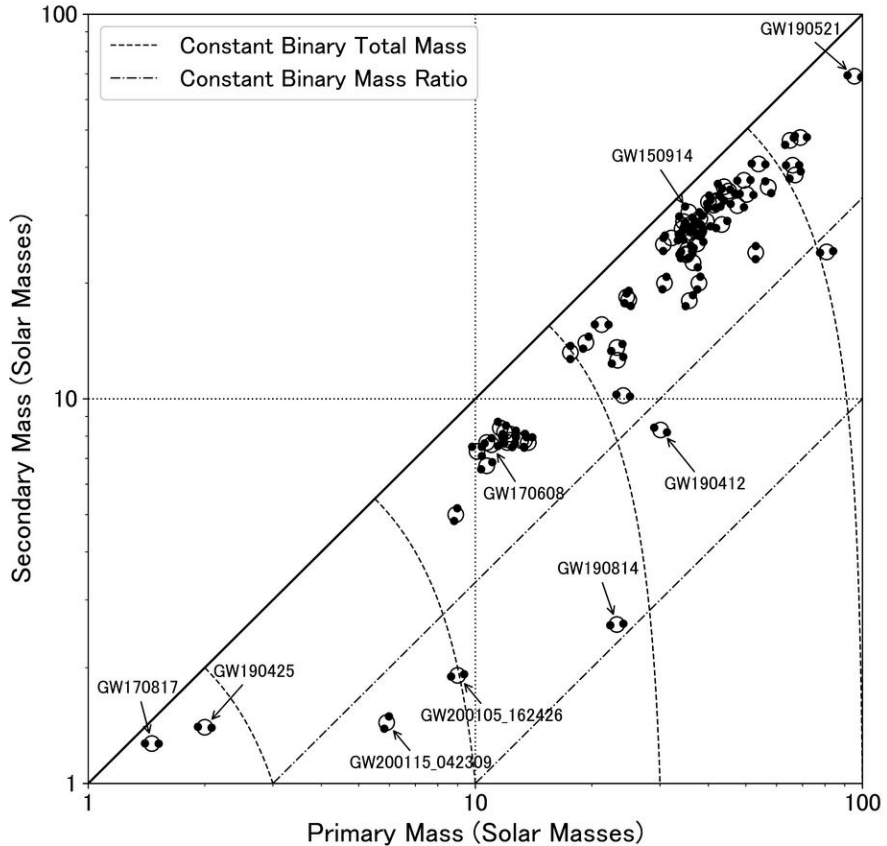


What did we detect?

A large population of
“heavy” binary black holes,
so far unobserved

Raises many questions

How do they form?
In what environment?



Credit: LVK / IGFAE / T Dent
arXiv:2108.01045
arXiv:2111.03606

What did we detect?

GWTC-2

A large population of
“heavy” binary black holes,
so far unobserved

Formation scenarios:

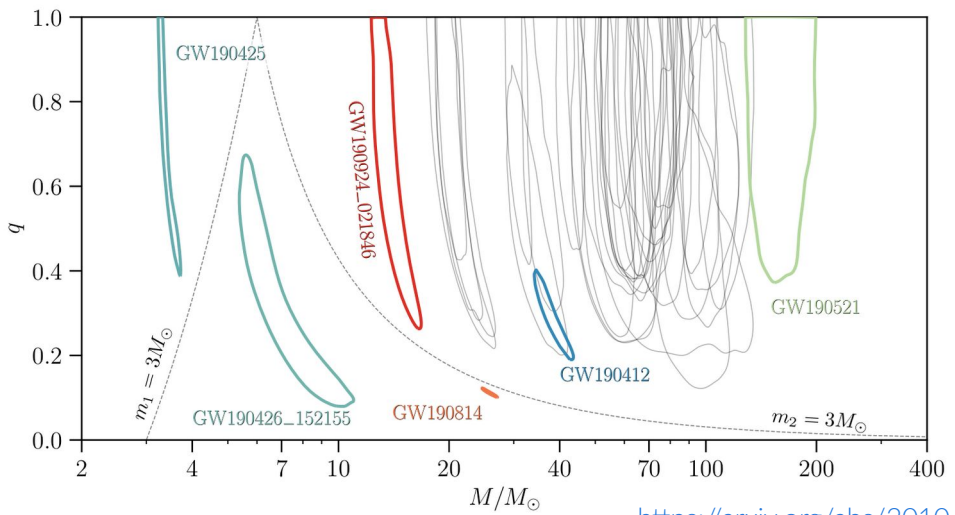
Formation in isolated binaries

Dynamical formation in dense
environments (globular clusters or
galactic nuclei)

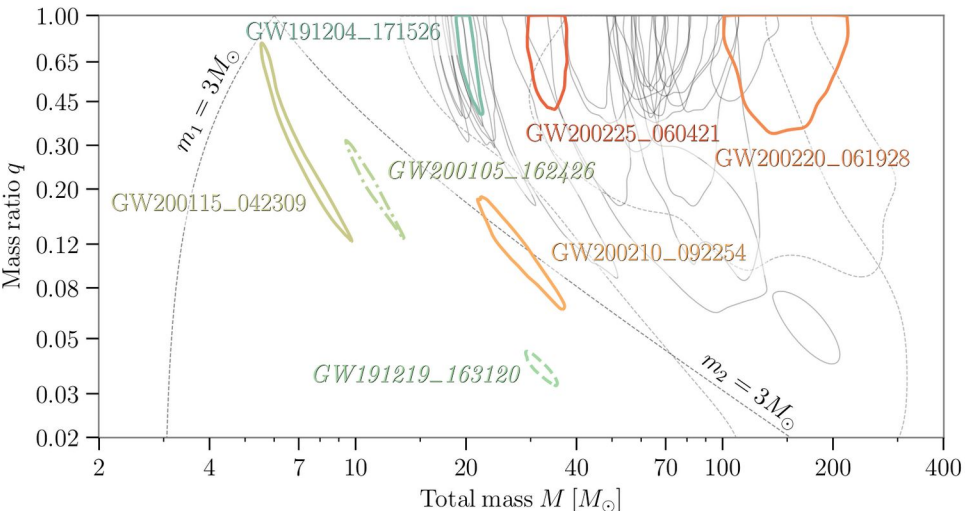
Others ?

A mix of populations ?

GWTC-3



<https://arxiv.org/abs/2010.14527>



<http://arxiv.org/abs/2111.03606>

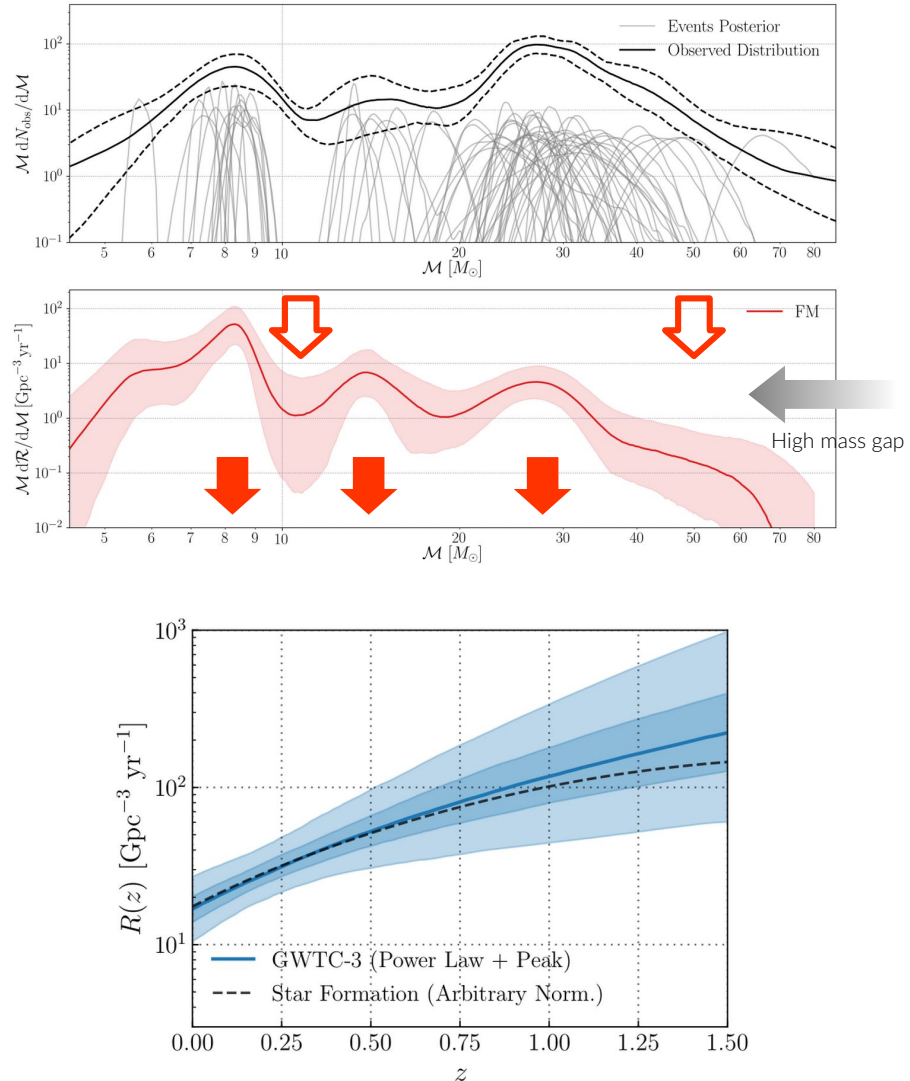
What did we detect?

Clusters and deficiencies in the mass distribution

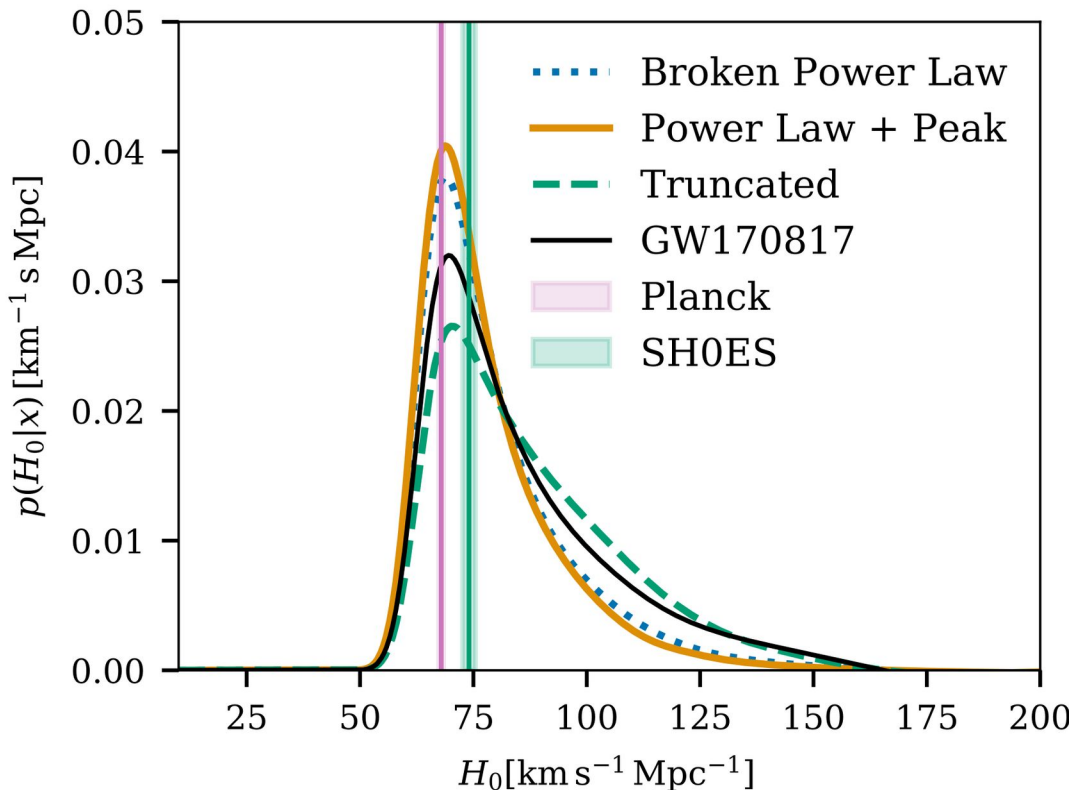
BBH merger rate at $z = 0.2$

17–45 Gpc⁻³ yr⁻¹

Increase with redshift z



Gravitational-wave cosmology



Bright sirens (GW170817)

Lumin. distance from GW data

Redshift from electromagnetic counterpart
(or galaxy catalog)

→ Hubble constant

Dark sirens (BBH)

$$m^{(d)} = (1 + z)m^{(s)}$$

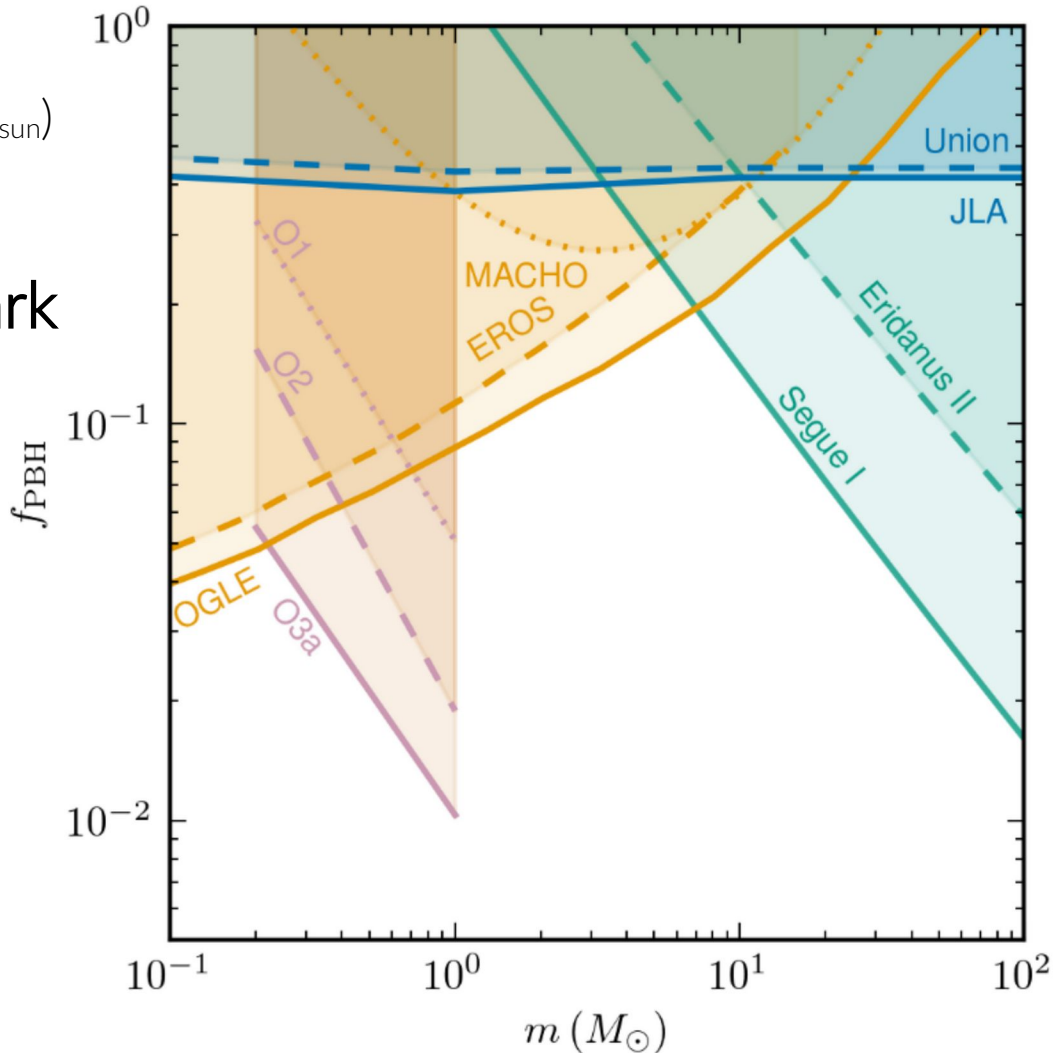
Joint fit of cosmological parameters and mass population models

What did we not detect?

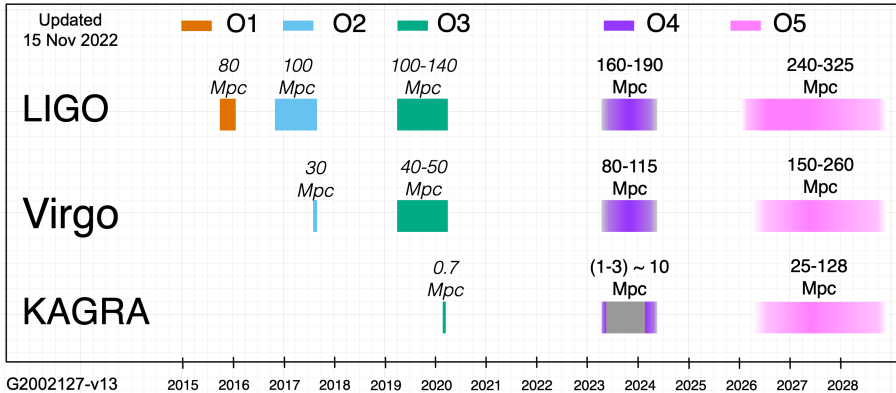
Search for sub-solar mass binaries ($0.2\text{--}1 M_{\odot}$)

3 different pipelines → No detection

Constraints on the fraction of dark matter in primordial black holes



What's next? "Avant le déluge"



→ 2028 Prochaines campagnes

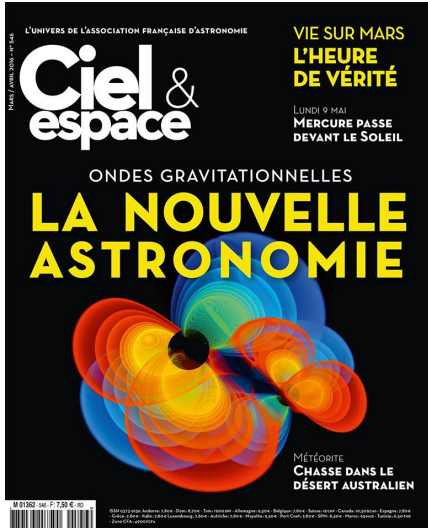
- O4 (2023) : 100aine de sources
- O5 (2026) : x 5 plus

~2030 Stratégie pour l'après O5

~2035 3^{ème} gén : Einstein tel & Cosmic Explorer

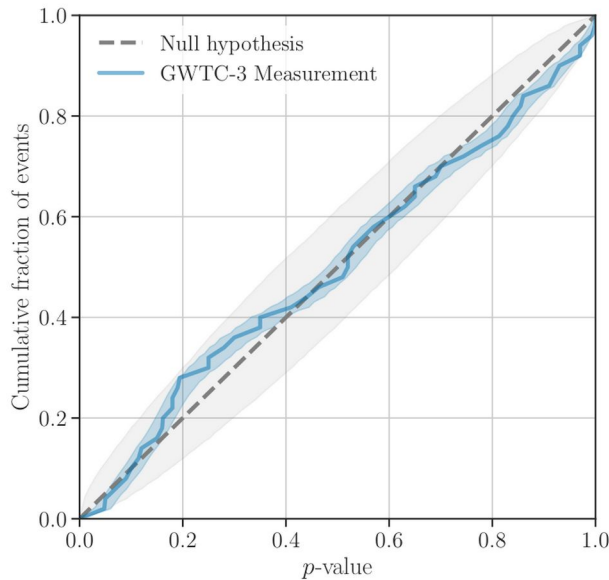
Cf David Shoemaker

Conclusions

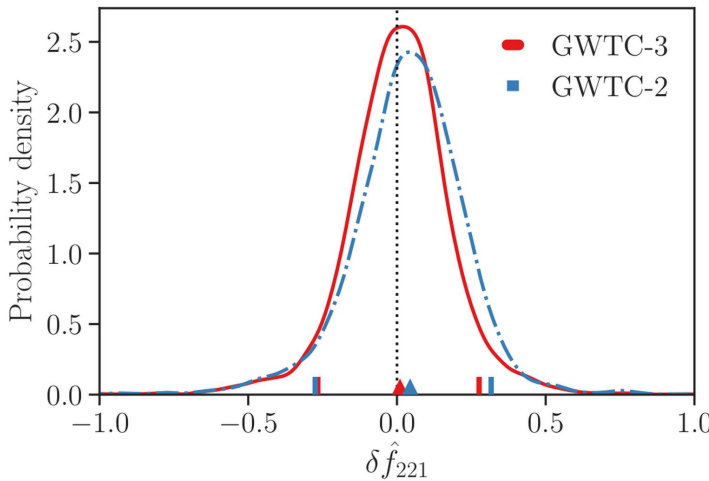


- **Une nouvelle astronomie !**
 - Une population de trous noirs jusqu'ici inconnue
 - Multimessager : fusion de deux étoiles à neutrons et contreparties
- **NOMBREUSES IMPLICATIONS EN CASCADE**
 - Physique nucléaire : équation d'état de la matière dense
 - Cosmologie : mesure de la constante de Hubble
 - Nucléosynthèse cosmique : abondances des éléments lourds
 - Gravité quantique ? Dimensions supplémentaires?
- **Un futur prometteur**
 - Une décennie d'observation à venir
 - Un riche programme scientifique
 - Les équipes lyonnaises très bien positionnées pour les 30 prochaines années !





LVK Collaboration, arXiv 2112.06861 [gr-qc]



Tests of General Relativity from GW

- Range of effects tested
 - Waveform consistency (residual)
 - Internal consistency of the waveform parts
 - GW generation (post-Newton)
 - GW propagation (dispersion)
 - Polarization
 - Remnant properties (**ringdown**, echoes)
- No statistically significant deviation observed